

Detekcija svetlobe

- 1) Fotopomnoževalke (klasične)
- 2) Večanodne fotopomnoževalke in mikrokanalne plošče
- 3) Fotodiode
- 4) Plinski detektorji svetlobe

1) Fotopomnoževalka

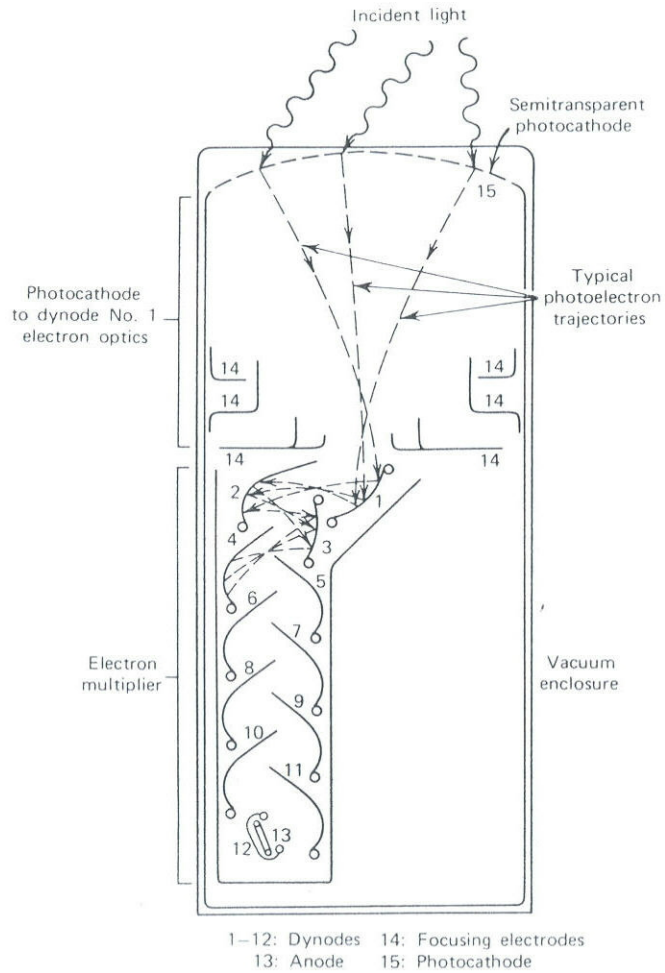
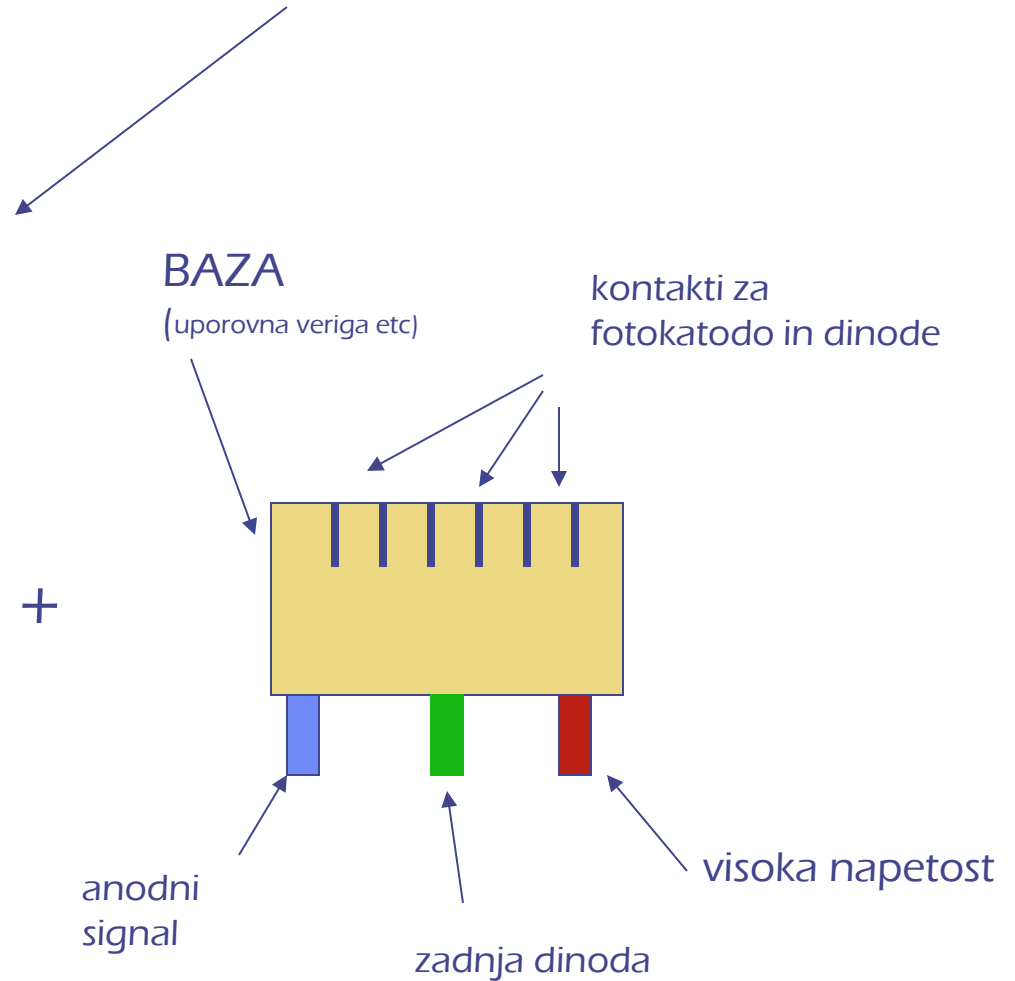


Figure 9-1 Basic elements of a PM tube. (From Ref. 1.)



- 1) meritev sunkov
- 2) meritev toka

Fotokatode

◆ Fotoefekt: $E_e = h\nu - \Phi$

maksimalna energija elektrona

energija fotona

izstopno delo (energija praga)

◆ kvantni izkoristek (Quantum Efficiency)

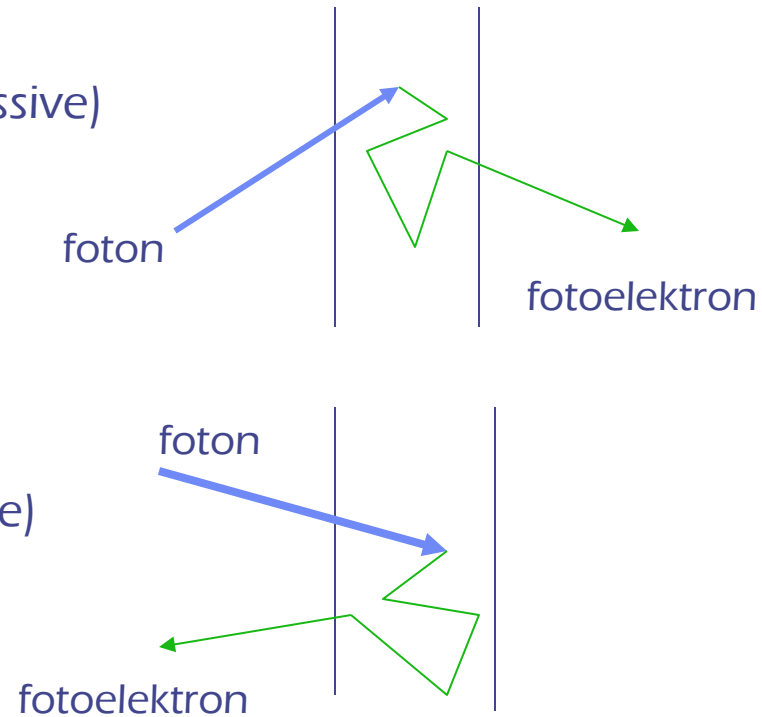
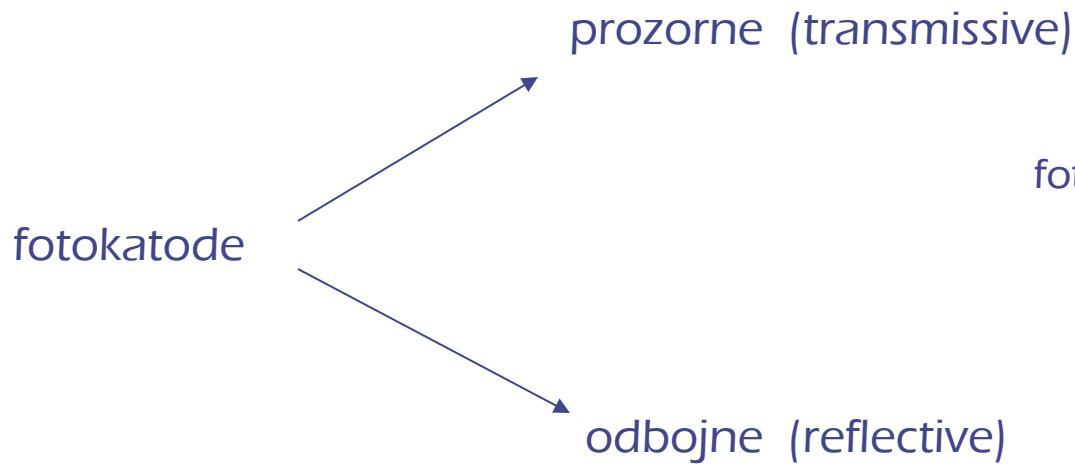
$$\eta(\lambda) = \frac{\text{število fotoelektronov iz katode}}{\text{število vpadnih fotonov}}$$

ali sevalna občutljivost katode $E(\lambda) = \frac{I_k}{P(\lambda)}$

I_k tok fotoelektronov iz katode (A)

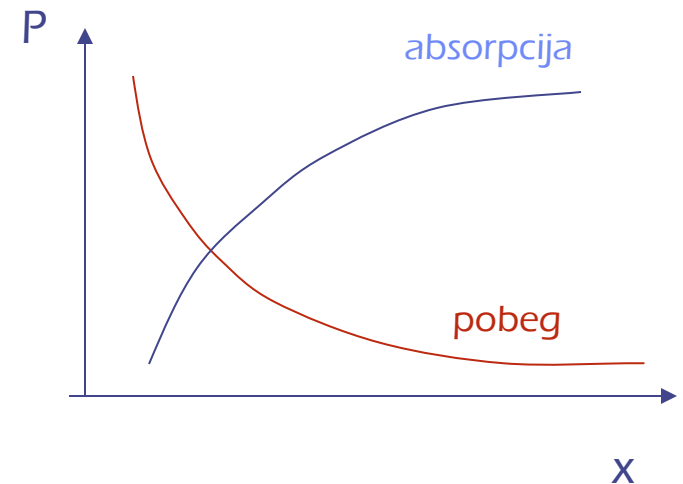
$P(\lambda)$ vpadna sevalna moč (W)

$$\eta(\lambda) = \frac{I_k/e_0}{P(\lambda)/h\nu} = \frac{hc}{\lambda e_0} E(\lambda)$$



Kvantni izkoristek je produkt :

- verjetnosti za transmisijo skozi vstopno okno
- verjetnosti za absorpcijo in fotoefekt
- verjetnosti za izstop fotoelektrona iz katode
 \Rightarrow obstaja optimalna debelina fotokatode



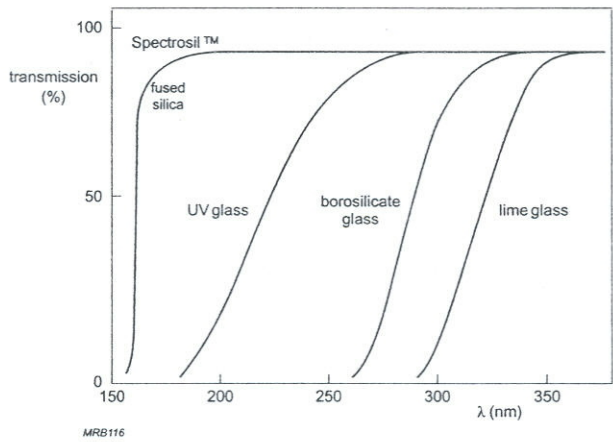


Fig. 1.5 Transmission (%) as a function of wavelength λ for various glasses used in photomultiplier input windows (thickness 3 mm)

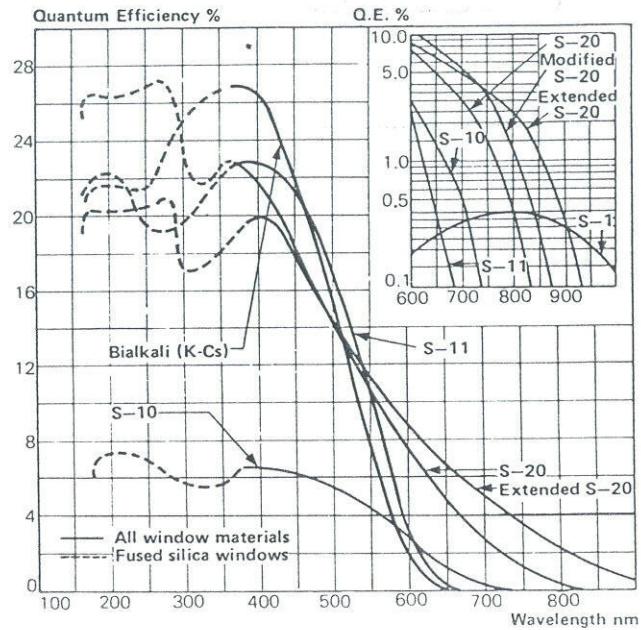
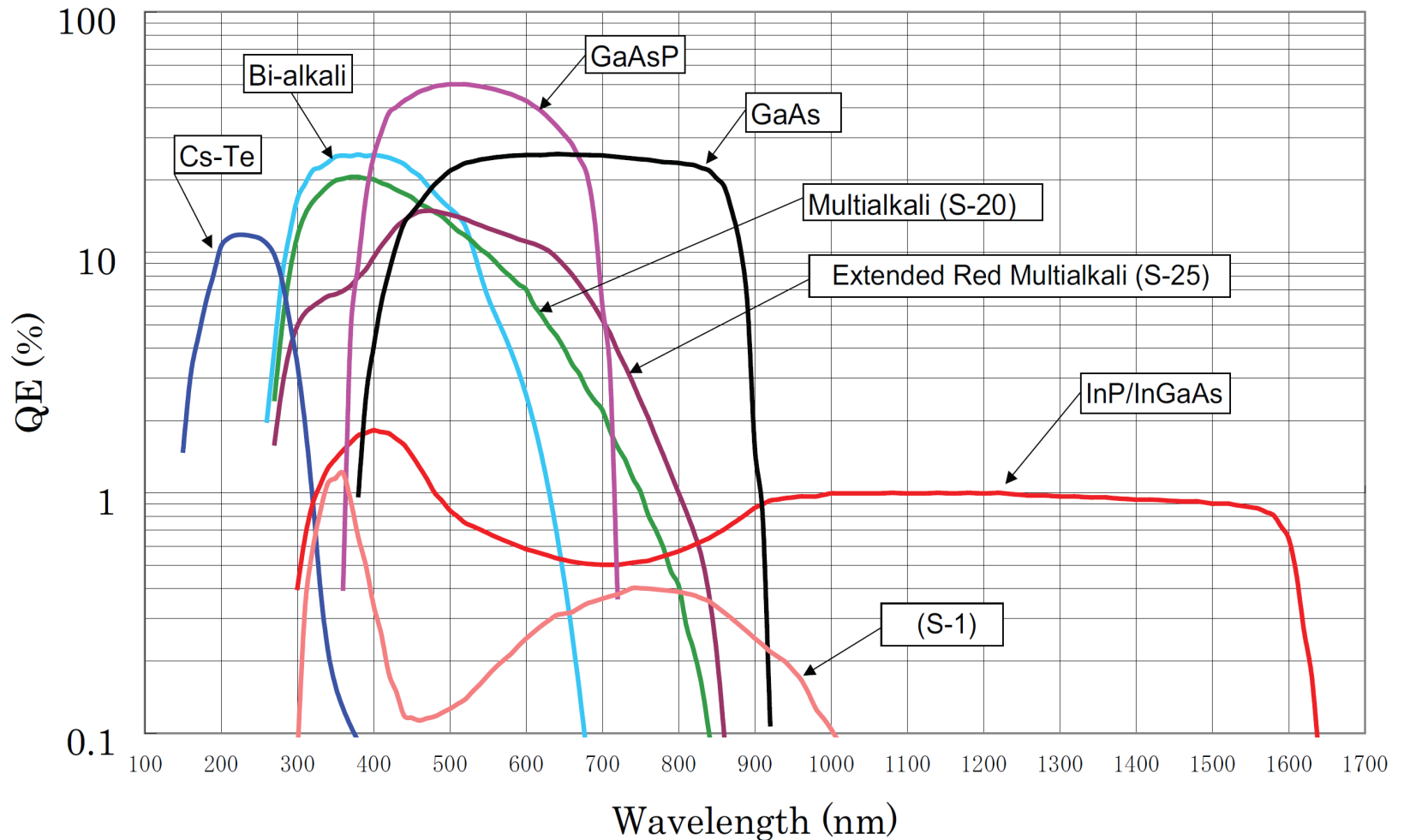


Fig. 8.2. Quantum efficiency of various photocathode materials (from EMI Catalog [8.2])

Table 8.1. Photocathode characteristics (from RTC catalog [8.3])

Cathode type	Composition	λ at peak response [nm]	Quantum efficiency at peak
S1 (C)	Ag-O-Cs	800	0.36
S4	SbCs	400	16
S11 (A)	SbCs	440	17
Super A	SbCs	440	22
S13 (U)	SbCs	440	17
S20 (T)	SbNa-KCs	420	20
S20R	SbNa-KCs	550	8
TU	SbNa-KCs	420	20
Bialkali	SbRb-Cs	420	26
Bialkali D	Sb-K-Cs	400	26
Bialkali DU	Sb-K-Cs	400	26
SB	Cs-Te	235	10

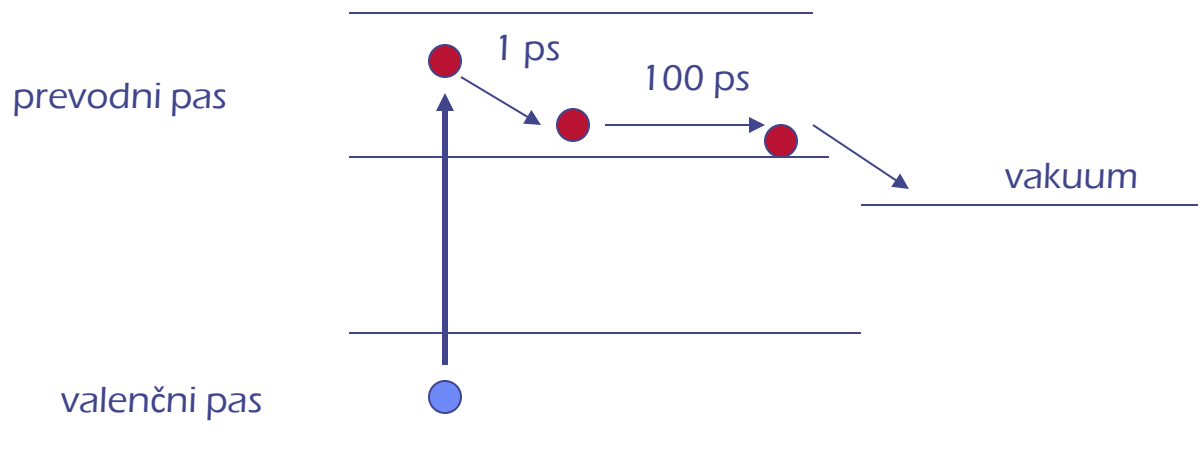
Quantum efficiency



večinoma so fotokatode polprevodniki

antimon (Sb) + alkalne kovine (K, Cs, Rb, Na ...)

- zaradi zasedenosti stanj v polprevodniku izgublja fotoelektron manj energije pri trkih z ostalimi elektroni in zato lažje pride do površine (vezani elektroni imajo veliko maso, zato je manj izgube energije), $\eta = 10 - 30 \%$.
- v kovinah so velike izgube zaradi trkov s prostimi elektroni ($\eta \approx 0.1 \%$).
- galijev fosfid (GaP), dopiran z Zn+Cs, ima negativno "elektronsko afiniteto" (negative electron affinity) za elektron v prevodnem pasu, $\eta \approx 80 \%$.



Sistem zbiranja fotoelektronov

- večinoma uporabljajo električno polje med fotokatodo in prvo dinodo (ponekod tudi magnetno polje)

Zahteve:

- velik izkoristek zbiranja fotoelektronov (različne poti, izstopne energije in različne smeri).
- izkoristek naj bo čimmanj odvisen od mesta nastanka $QE(r)$
- čas potovanja od fotokatode do prve dinode naj bo čimmanj odvisen od mesta nastanka, ker to prispeva k časovni ločljivosti ($\Delta t \approx 0.3 \text{ ns}$)

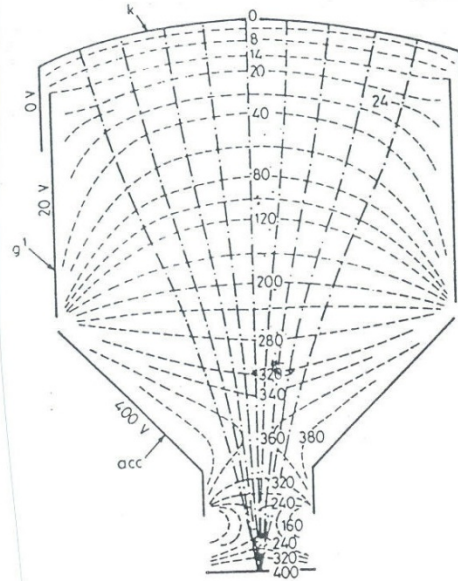


Fig. 8.15. Equipotential lines in the electron-optical input system of a fast photomultiplier (from Hull [8.9])

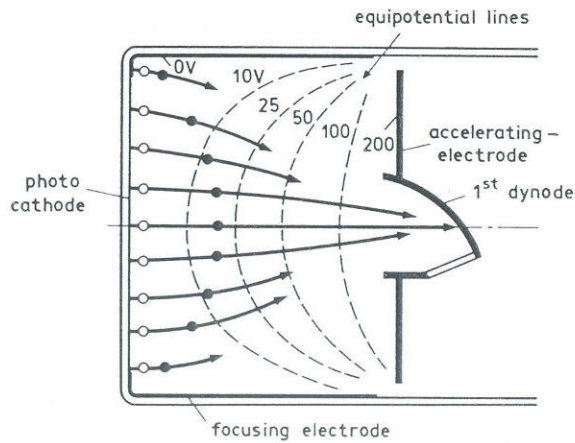


Fig. 8.14. Transit time difference (from Schonkeren [8.1])

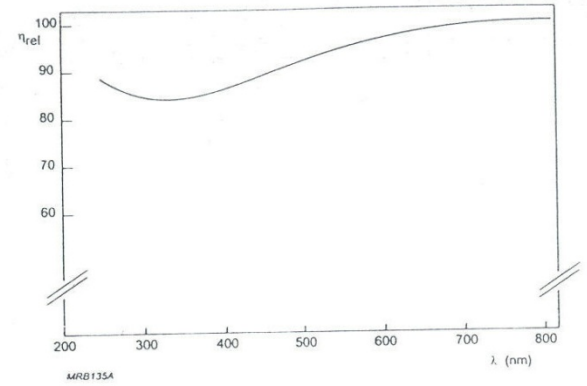
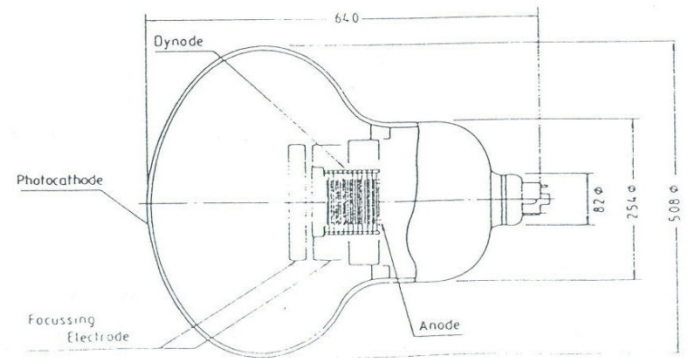


Fig. 2.2. Example of relative input system collection efficiency as a function of wavelength

Fig. 4.2. Section through photomultiplier tube R 1449 with a spherical photocathode of 508 mm diameter [KU 83].



Pomnoževalni sistem (dinode)

- sekundarna emisija na dinodah, $\delta \approx 3-5$
- dinode iz polprevodnikov in izolatorjev (isti razlog kot za fotokatode)
- polprevodnik na prevodni podlagi, ker potrebujemo E za pospeševanje
- lahko tudi zlitina (Ag-Mg, Cu-Be, Cs-Sb).
Alkalna kovina na površini oksidira in tvori izolatorsko plast.

Zahteve:

- veliko pomnoževanje, faktor sekundarne emisije δ
- stabilnost pri velikih tokovih
- nizka termična emisija (šum)

• 10-14 dinod $\Rightarrow G = 10^7-10^8$

• GaP dinode \Rightarrow 5 dinod \Rightarrow isti G

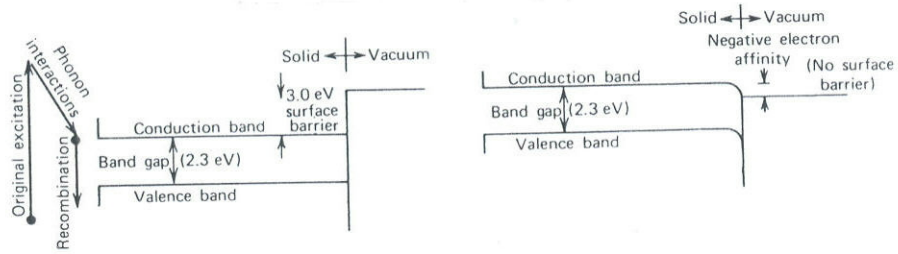


Figure 9-4 Band structure near the surface for conventional semiconductors (left) and NEA materials (right). (Adapted from Krall et al.⁷)

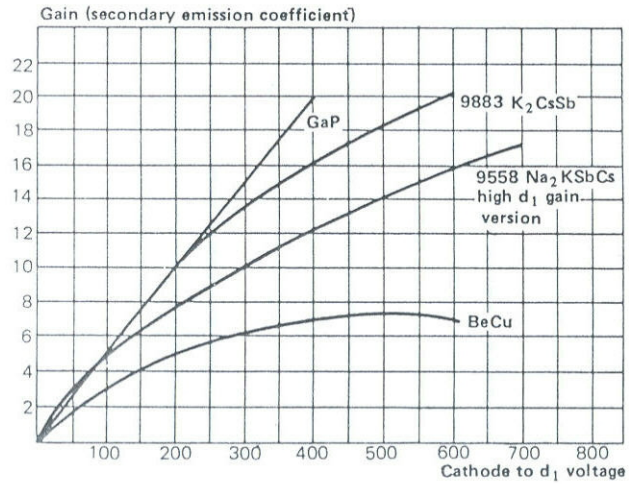


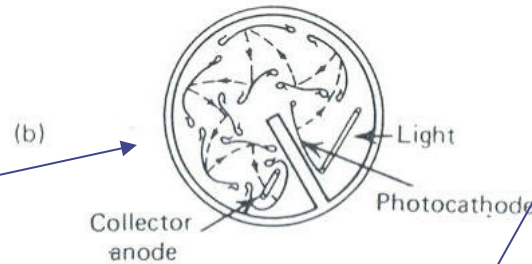
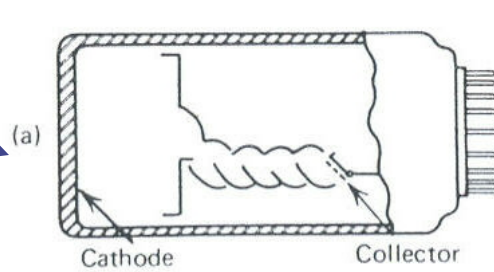
Fig. 8.9. Secondary emission factor for several dynode materials (from *EMI Catalog* [8.2])

konfiguracija dinod

262

PHOTOMULTIPLIER TUBES AND PHOTODIODES

Linear focused



circular

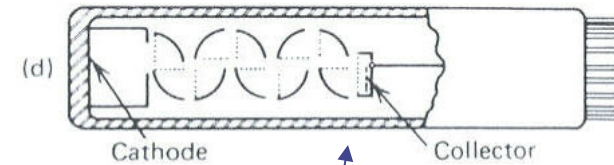
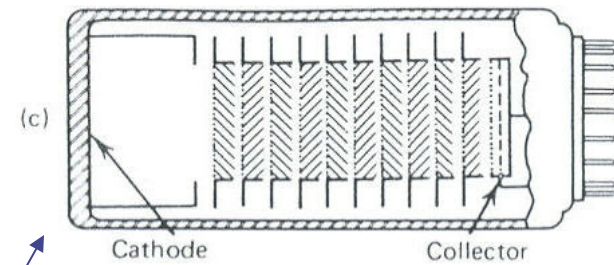


Figure 9-7 Configurations of some common types of PM tubes. (a) Focused linear structure. (b) Circular grid. (c) Venetian blind. (d) Box-and-grid. (Courtesy of EMI GENCOM Inc., Plainview, NY.)

“venetian blind”

“box grid”

Delilniki napetosti

- napetost na dinodah vzdržujemo z uporovno verigo skozi katero teče tok I_R
- med fotokatodo in elektrodo za fokusiranje je potenciometer za optimizacijo zbiranja
- anodni tok I_a vpliva na spremembo dinodne napetosti in s tem ojačenja G :

$$\Delta G/G \approx I_a/I_R \quad \longrightarrow \quad I_a \approx I_R/100 \quad \text{za} \quad \Delta G/G \approx 1\%$$

- zadnje dinode opremimo s kondenzatorji, v katerih je shranjen naboj za tokovni sunek ali z Zener diodami, ki vzdržujejo napetost.
- napetost na fotokatodi
 - anoda ozemljena
 - puščanje toka skozi steklo na ozemljene dele (baza, scintilator)
(elektroluminesc.)
 - ni potreben sklopitveni kondenzator
 - uporabno za hitre pulze, timing
- variacije V_N se preko kondenzatorja prenašajo na izhod v primeru, da je anoda na visoki napetosti in katoda ozemljena

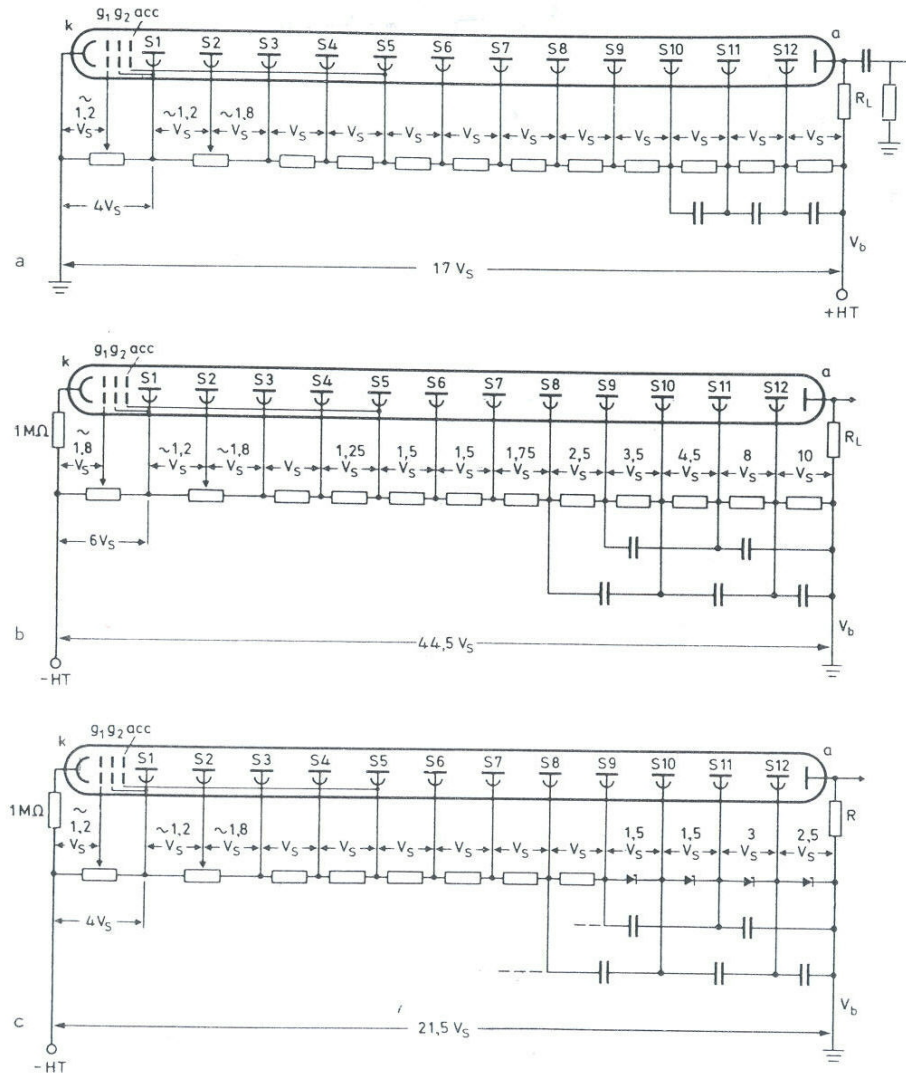


Fig. 8.10 a - c. Examples of PM voltage divider networks (after examples from *Philips Catalog* [8.7]): (a) divider network using positive high voltage; note the AC coupling capacitor at the anode, (b) a network using negative high voltage and decoupling capacitors for maintaining the voltages between the last few dynodes, (c) example of the use of zener diodes to maintain voltages on the last few dynodes

Visoka napetost

G...pomnoževalni faktor FP
 δ ...faktor sekundarne emisije
n...število dinod
 U_d ..napetost med dinodama
U...celotna napetost na FP

Približno velja:

$$G = \delta^n \quad \delta = k U_d \quad \text{in} \quad U = n U_d$$

Odtod sledi:

$$G \approx k^n U^n / n^n \quad \text{in} \quad dG/G \approx n dU/U$$

Pri $n=10$ in $dU/U \approx 0.1 \%$

dobimo $dG/G \approx 1 \%$,

torej potrebujemo
stabilizirano napetost.

Porazdelitev višin signalov enega fotoelektrona

Variacija pomnoževanja:

- statistična narava sekundarne emisije
- variacija sekundarne emisije po površini dinode
- različne energije fotoelektrona
- različni koti izstopa iz fotokatode

Meritev:

- a) šibka osvetlitev in
- b) integracija izhodnega signala (meritev naboja)

Porazdelitev **Polya** približno opiše spekter enega fotoelektrona.

$$P(q) = \frac{1 + \Theta}{q_{av} \Gamma(1+\Theta)} \left[\frac{(1+\Theta)q}{q_{av}} \right]^{\Theta} \exp - [(1+\Theta)q/q_{av}]$$

$$\Theta = 0.113 q_{av} - 0.095, \quad q_{av} \text{ (fC)}$$

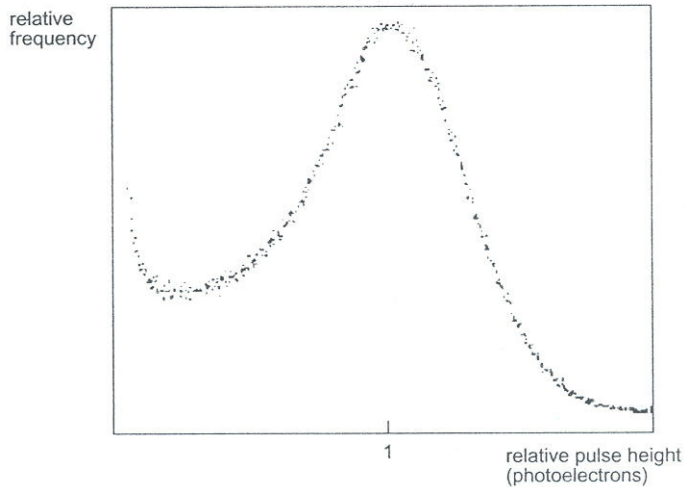


Fig.2.4 Typical single-electron spectrum. Resolution 67% FWHM. Peak-to-valley ratio 2.8:1

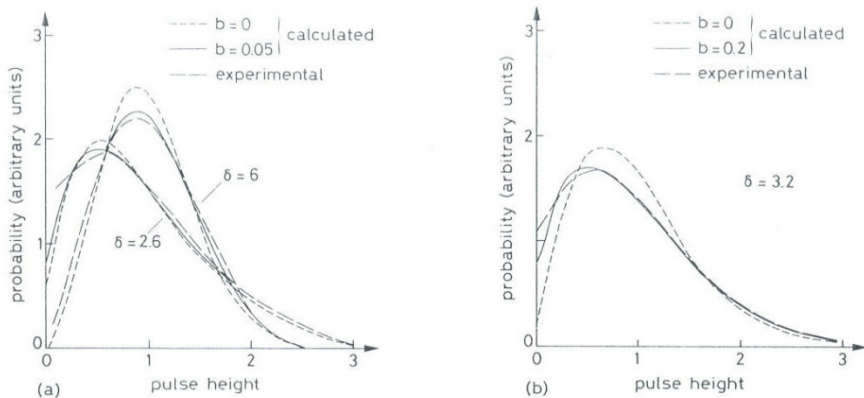


Fig. 8.8. Single-electron spectra for (a) linear-focused PM, (b) venetian blind PM (from Schonkeren [8.1])

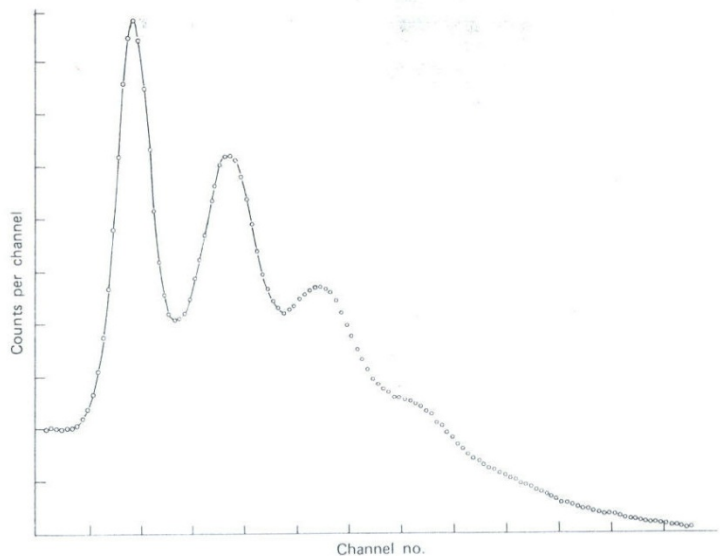


Figure 9-6 The measured pulse height spectrum for weak scintillation events obtained from a RCA 8850 photomultiplier tube. The high-gain first dynode results in distinguishable peaks in the spectrum corresponding to 1, 2, and 3 photoelectrons per pulse. (From Houtermans.¹²)

- enaka porazdelitev v VŽPK

- konvolucija za več fotoelektronov

$$\sigma_N/N \approx \sigma_1/(N_{f.e.})^{1/2}$$

Šum fotopomnoževalke (temni tok = enoelektronski sunki)

1) termična emisija iz katode in dinod
(največji prispevek)

$$I \propto T^2 \exp(-e\phi/kT), \quad \text{Richardson}$$

2) tok iz kontaktov na bazi ("leakage")

3) radioaktivna kontaminacija fotopomnoževalke
lahko direktno izbije elektrone iz dinod ali povzroči
fluorescenco v steklu.

"afterpulsing"

- Ionizacija residualnega plina v FP. Ioni se vrnejo na katodo, kjer izbijejo nov fotoelektron: $\Delta t \approx 100 \text{ ns} - 1 \mu\text{s}$
- "electrode glow": zadnje dinode lahko sevajo svetlobo, ki pride do fotokatode in izbije nov fotoelektron; $\Delta t \approx 30-60 \text{ ns}$.

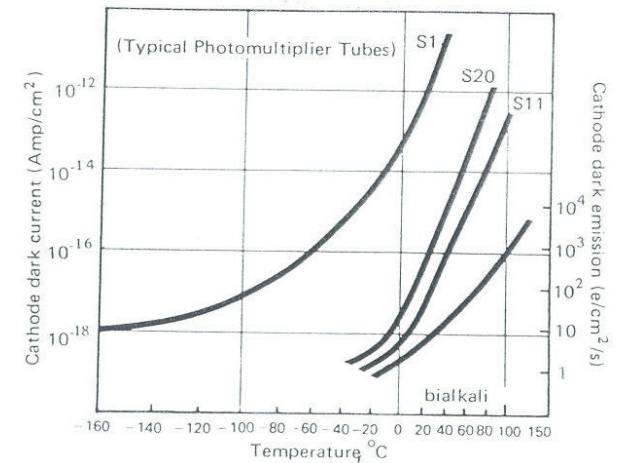


Fig. 8.19. Dark noise vs. temperature for various photocathodes (from Wardle [8.10])

Oblika sunkov

Fotopomnoževalka je tokovni generator

$$I(t) = (GNe_0 / \tau_s) \exp(-t / \tau_s), \quad GNe_0 = Q$$

N...število fotoelektronov

G...pomnoževalni faktor

Q...naboj v sunku

τ_s ...razpadni čas vzb. stanj v scintilatorju

R in C ... upornost in kapaciteta anode vključno z izhodno upornostjo in kapaciteto kablov.

Enačba:

$$I = U/R + C dU/dt$$

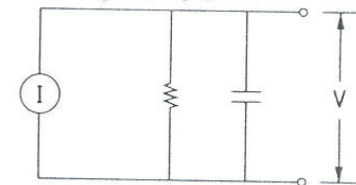
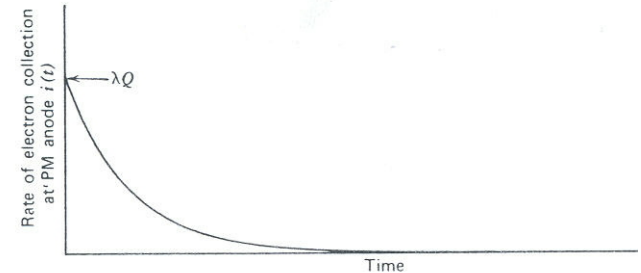


Fig. 8.12. Equivalent circuit for a photomultiplier. The PMT may be considered as an ideal current generator in parallel with a certain resistance and capacitance

Rešitev:

$$U(t) = -(Q/C) [RC/(RC - \tau_s)] [\exp(-t/\tau_s) - \exp(-t/RC)]$$

Če $RC \gg \tau_s$ (voltage mode)

Napetostni signal je integral naboja.
Velik in dolg signal.

$$t_r = \tau_s, \quad t_d = RC, \quad U_{\max} = Q/C$$

Če $RC \ll \tau_s$ (current mode)

Napetostni signal sledi scintilatorju.
Kratek in majhen signal.

$$t_r = RC, \quad t_d = \tau_s, \quad U_{\max} = (Q/C)(RC/\tau_s)$$

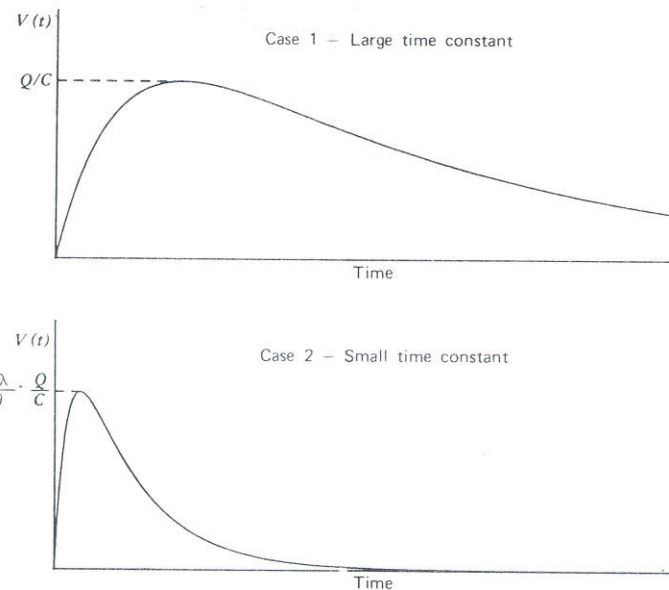


Figure 9-17 For the assumed exponential light pulse shown at the top, plots are given of the anode pulse $V(t)$ for the two extremes of large and small anode time constant. The duration of the pulse is shorter for Case 2, but the maximum amplitude is much smaller.

Časovna ločljivost

- Če za dogodek (absorpcija delca v scintilatorju) dobimo le en fotoelektron, bo časovna ločljivost določena s τ_s .
- Poleg τ_s vplivajo na časovno ločljivost še:
 - 1) razlike v času potovanja fotonov do fotokatode in
 - 2) razlike časov potovanja fotoelektronov od katode do prve dinode (geometrijske razlike poti in razlike začetnih hitrosti, $\Delta t \approx 0.2-0.5$ ns)

Za dobro časovno ločljivost želimo:

- hiter scintilator (majhen τ_s)
- velik pridelek
- dobro fotopomnoževalko (velik QE in hitra FP)

Zunanji vplivi

1) Osvetlitev fotopomnoževalke

- pod napetostjo uniči FP ali v najboljšem primeru poveča temni tok
- osvetlitev brez napetosti poveča šum, ki pa se s časom zmanjša

2) Magnetno polje (slike)

- spremeni elektronske kaskade in zmanjša velikost signala
- najbolj občutljiv del je zbiralni sistem of fotokatode do prve dinode
- zaščita z μ -metalom in mehkim Fe
- nove FP z "proximity focusing" so manj občutljive na B

3) Temperatura

- poveča termični šum
- QE je lahko odvisen od T (-0.5 %/°C)

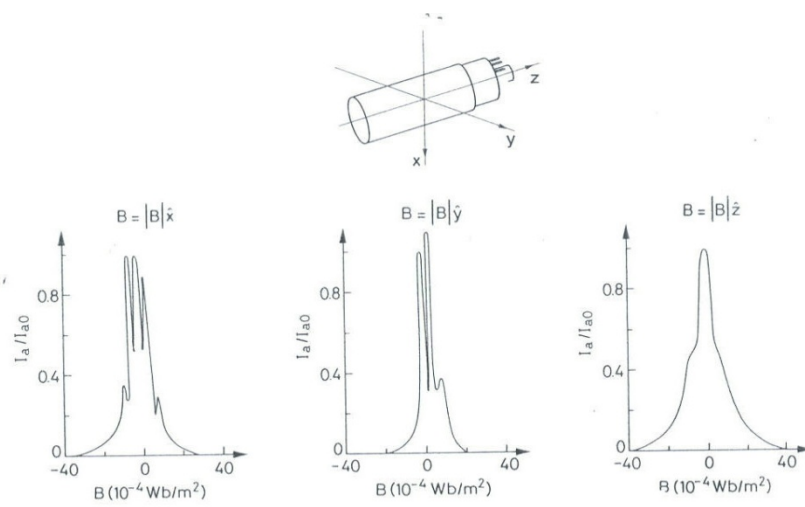


Fig. 8.17. Effect of magnetic fields on the anode current of an unscreened PM for different field orientations (from Schonkeren [8.1])

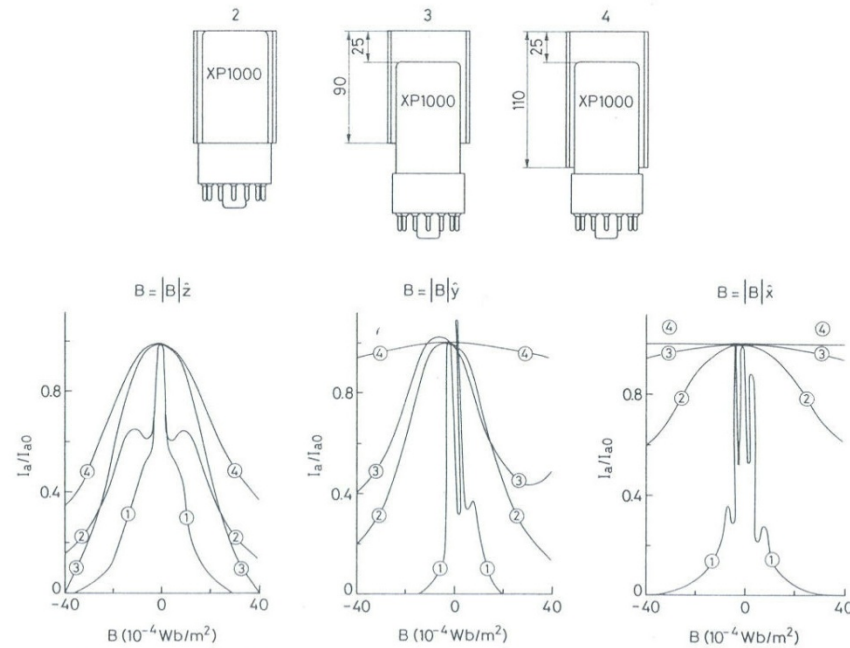


Fig. 8.18. Shielding effect of different mu-metal configurations (from Schonkeren [8.1])

2) Večanodne fotopomnoževalke in mikrokanalne plošče

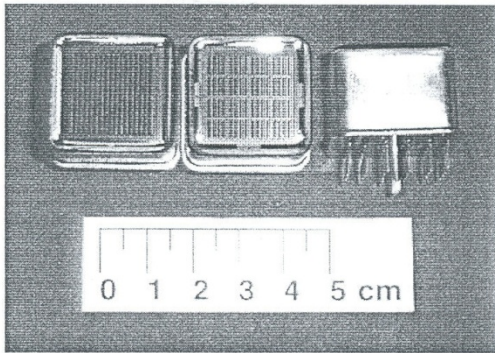
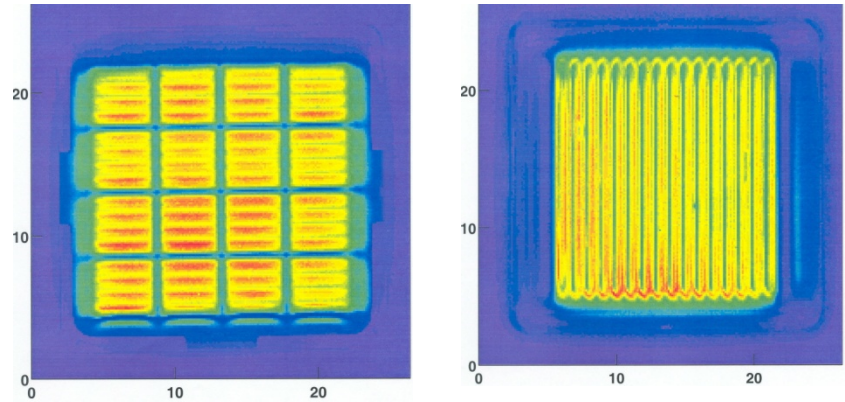
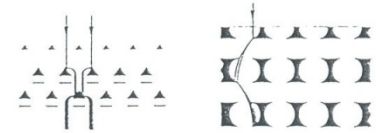


FIGURE 2. Hamamatsu multianode photomultipliers (L16, M16, M16 from left to right).



POSITION SENSITIVE PMT'S - EXAMPLES

Philips mesh and foil types



Hamamatsu fine mesh

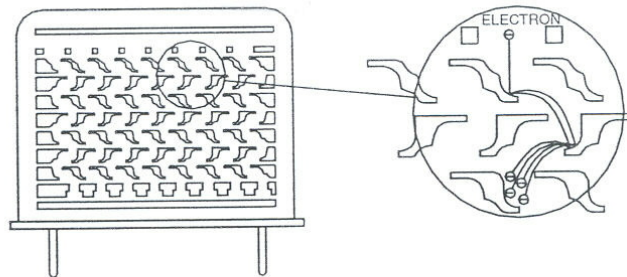
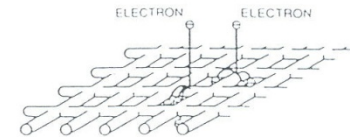


FIGURE 4. Metal channel type PMT [8].

Mikrokanalne plošče

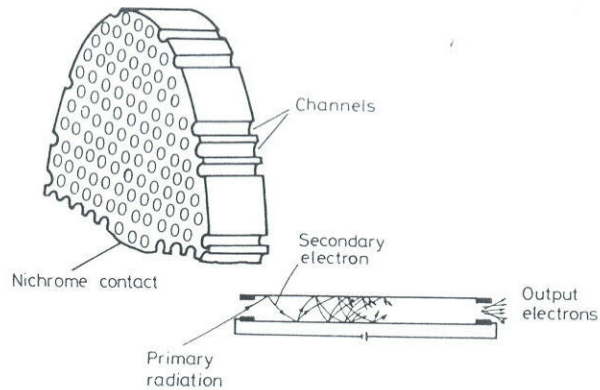


Fig. 8.6. Schematic diagram of a microchannel plate. The many channels act as continuous dynodes (from Dhawan [8.4]; picture © 1975 IEEE)

- premer kanala 10-100 μm
- dolžina kanala $\approx 1\text{ mm}$
- površina plošče 10-50 cm^2
- ojačenje $G \approx 10^5\text{-}10^7$ ("chevron")
- časovna ločljivost $< 100\text{ ps}$
- pozicijska občutljivost
- kanal 25 μm : do $B \approx 0.8\text{T}$
- kanal 10 μm : do $B \approx 1.5\text{T}$

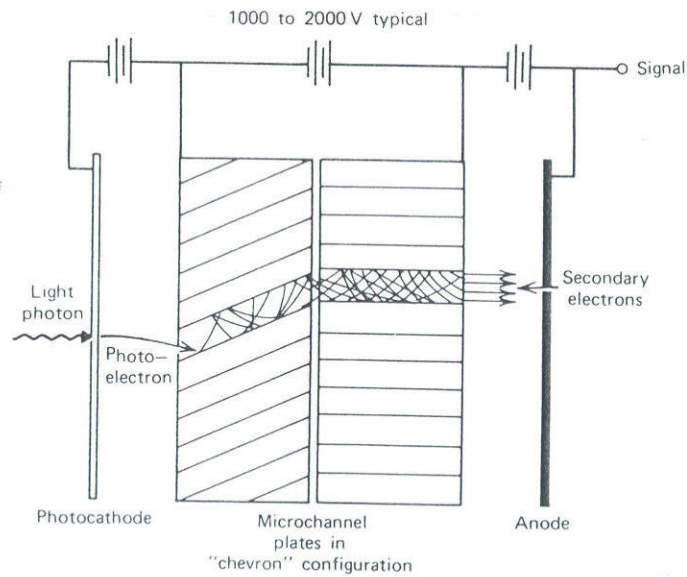


Figure 9-9 Elements of a PM tube based on microchannel plate electron multiplication.

3) Polprevodniški senzorji

Fotodiode (PD)

- velik kvantni izkoristek (tudi v IR področju),
- ni ojačanja
- uporabno v primerih, ko je veliko svetlobe (recimo v fiziki delcev za kalorimetrijo)

Plazovne fotodiode

(avalanche photodiodes, APD)

- veliko E povzroči pomnoževanje v plazmu, $G \approx 10^2-10^3$.
- razmerje šum/signal je več redov velikosti slabše kot pri FP,
- šum $\approx 0.4 \text{ nA/mm}^2$
- uporaba v fiziki delcev za kalorimetrijo

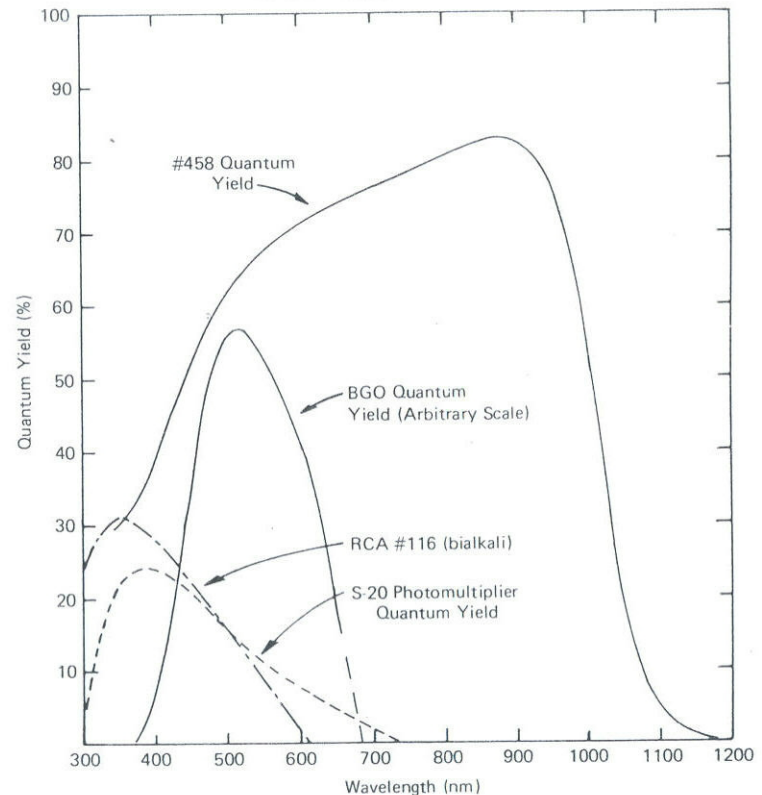
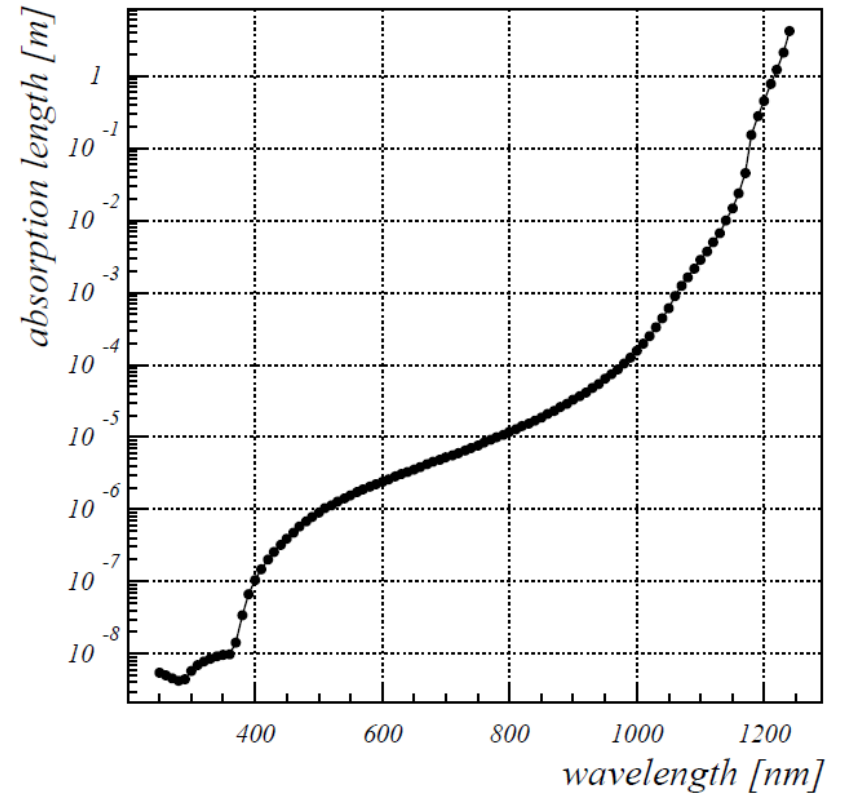
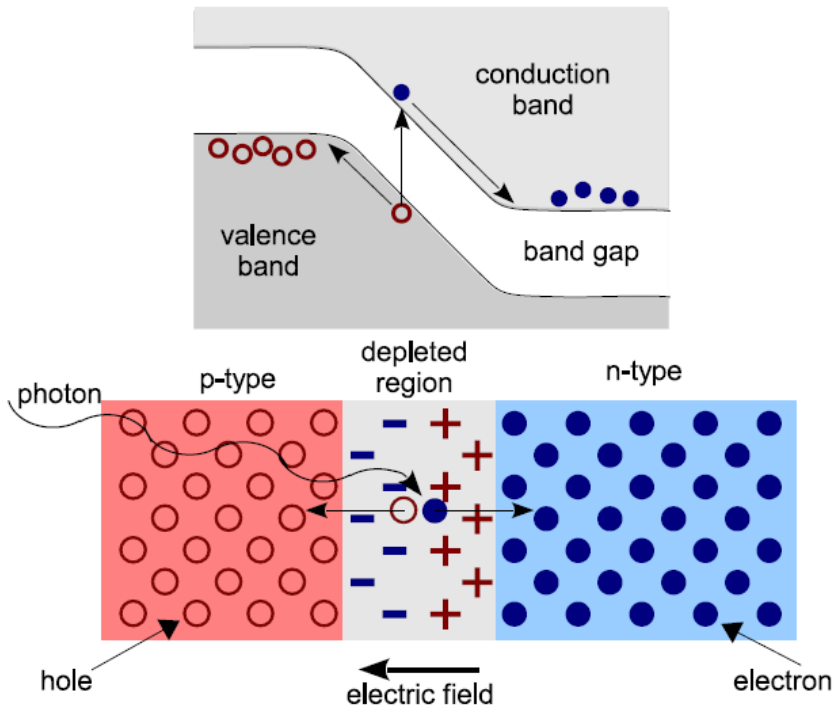


Figure 9-14 A comparison of the quantum efficiency of a silicon photodiode (labeled #458) with representative bialkali and S-20 photocathode quantum efficiencies. The emission spectrum from a BGO scintillator is shown for reference. (From Groom.⁵³)

Semiconductor light sensor: photodiode



Semiconductor light sensor: CCD

Semiconductor light sensor: G-APD

G-APD: Geiger mode avalanche photo-diode, also known as SiPM – Silicon Photomultiplier

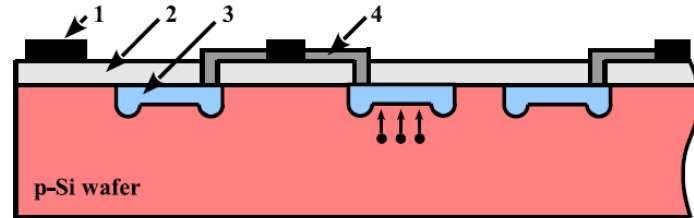
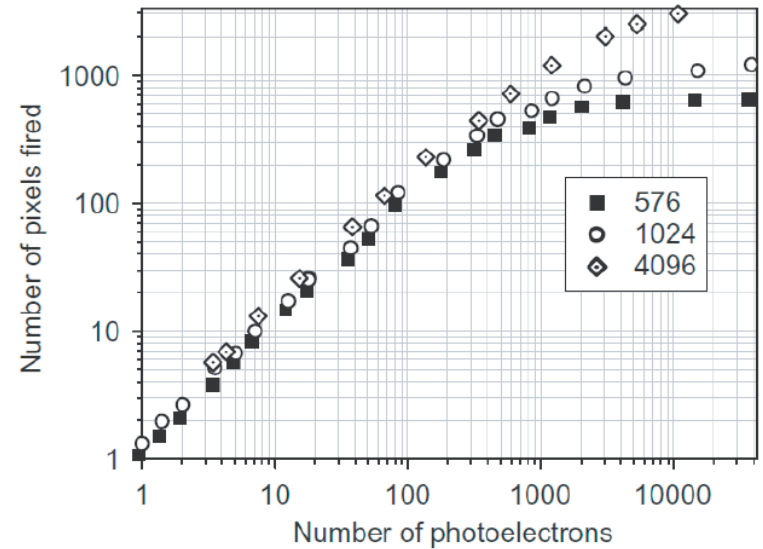
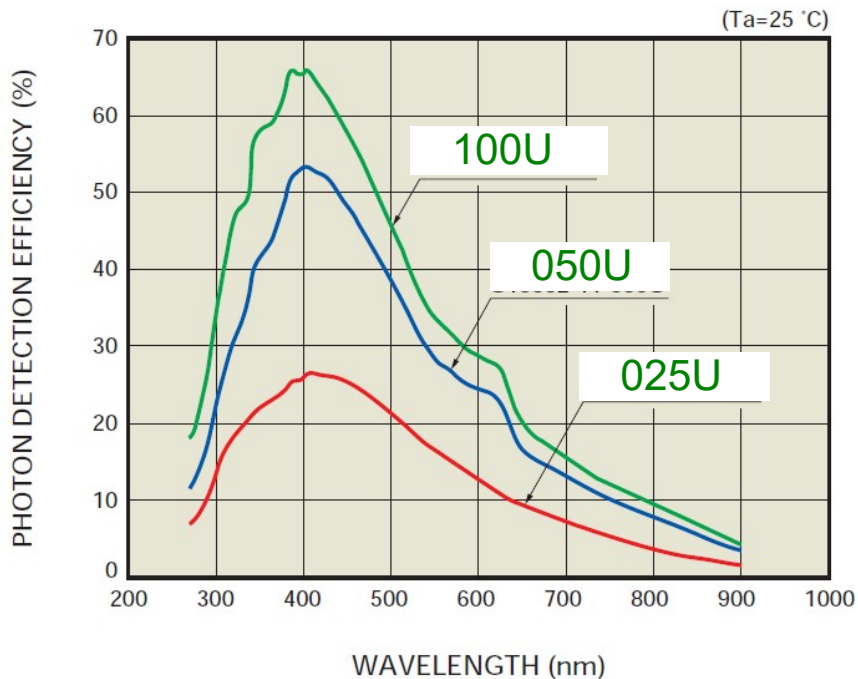
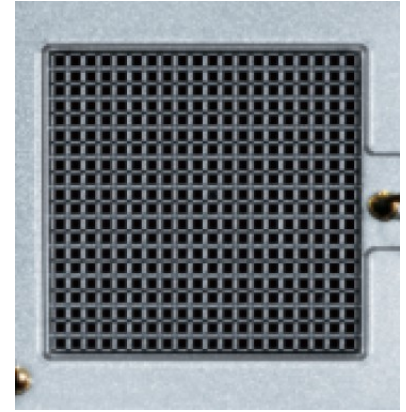
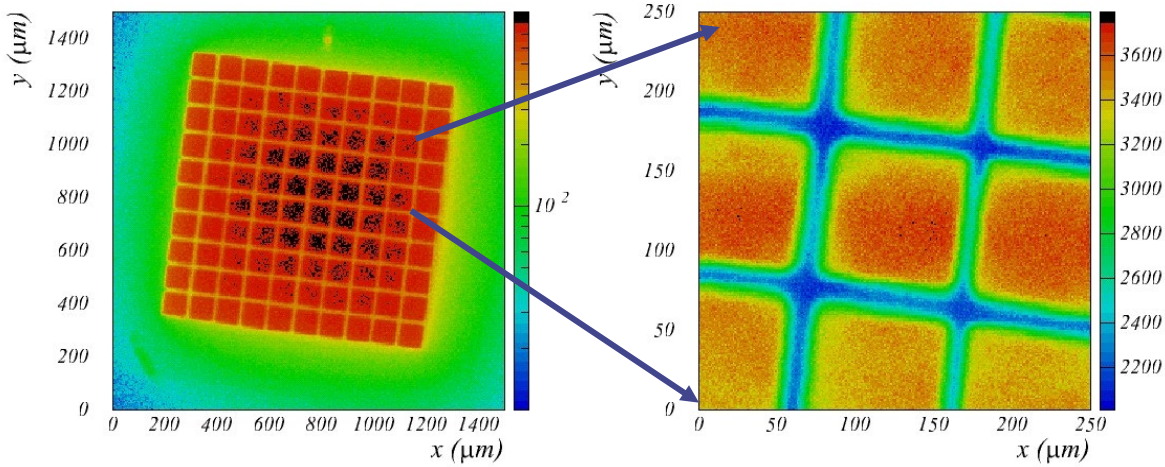


Figure 9: Schematic drawing of a cross-section of a SiPM: metal electrode (1), silicon oxide layer (2), p-n junctions/micro-cell (3) and individual quenching resistor (4) (23).

SiPM is an array of APDs operating in Geiger mode. Characteristics:

- low operation voltage $\sim 10\text{-}100\text{ V}$
- gain $\sim 10^6$
- peak PDE up to 65%(@400nm)
 $\text{PDE} = \text{QE} \times \epsilon_{\text{geiger}} \times \epsilon_{\text{geo}}$ (up to 5x PMT!)
- ϵ_{geo} – dead space between the cells
- time resolution $\sim 100\text{ ps}$
- works in high magnetic field
- dark counts $\sim \text{few } 100\text{ kHz/mm}^2$
- radiation damage (p,n)

SiPMs as photon detectors



Hybrid photo-detector HPD

